

## **Si<sub>3</sub>N<sub>4</sub>-코팅 유/무기 복합 분리막을 통한 리튬이온전지용 분리막의 제조 및 평가**

여승훈 · 손화영 · 서명수<sup>†</sup> · 노태욱<sup>††</sup> · 김규철<sup>†††</sup> · 김현일<sup>†††</sup> · 이호준<sup>††††, \*</sup>

금오공과대학교 응용화학과, <sup>†</sup>베셀, <sup>††</sup>티에스이, <sup>†††</sup>씨에스텍,

<sup>††††</sup>대구경북과학기술원(DGIST) 에너지시스템공학부

(2012년 2월 8일 접수 : 2012년 2월 25일 채택)

## **Fabrication and Evaluation of Si<sub>3</sub>N<sub>4</sub>-coated Organic/inorganic Hybrid Separators for Lithium-ion Batteries**

Seung-Hun Yeo, Hwa-Young Son, Myeong-Su Seo<sup>†</sup>, Tae-Wook Roh<sup>††</sup>,  
Gyu-Chul Kim<sup>†††</sup>, Hyun-Il Kim<sup>†††</sup>, and Hochun Lee<sup>††††, \*</sup>

*Department of Applied Chemistry, Kumoh National Institute of Technology, Gyeongbuk 730-701, Republic of Korea*  
*<sup>†</sup>Bexel, Gyeongbuk 730-030, Republic of Korea*

*<sup>††</sup>Technology & Science Enterprise, Gyeongbuk 730-906, Republic of Korea*

*<sup>†††</sup>Cell & Separator Technologies, Kangwon 220-962, Republic of Korea*

*<sup>††††</sup>Energy Systems Engineering, Daegu Gyeongbuk Institute of Science and Technology (DGIST),  
Daegu 711-873, Republic of Korea*

(Received February 8, 2012 : Accepted February 25, 2012)

### **초 록**

리튬 이차전지의 대표적인 분리막인 polyethylene(PE) 분리막은 열에 의한 수축 및 기계적 파열의 단점을 가지고 있다. 본 연구에서는 이러한 기존 PE 분리막을 개선하기 위해 Si<sub>3</sub>N<sub>4</sub> 코팅 분리막 (SCS, Silicon-nitride Coated Separator)을 제작하였다. Si<sub>3</sub>N<sub>4</sub> 코팅이 분리막의 열적/기계적 수치안정성, 이온전도도, 및 전지의 출력 특성에 미치는 영향을 알아보았다. Si<sub>3</sub>N<sub>4</sub> 분밀을 polyvinylidene fluoride(PVdF) 결착재를 이용하여 PE 분리막의 한 쪽 면에 10 μm 두께로 코팅하여 SCS를 제작하였다. SCS는 PE 분리막보다 100~150°C에서 우수한 열적안정성을 나타냈으며, 특히 150°C에서의 수축률은 10~20% 감소를 보였다. 또한, SCS의 인장강도는 PE 분리막에 비해 증가를 보였다. SCS는 PE 분리막에 비해 다소 낮은 이온 전도도를 보였지만, LiCoO<sub>2</sub>/Li 코인전지의 C-rate(0.2~3C) 특성 평가에서는 유사한 결과를 보였다.

**Abstract :** Polyethylene (PE) separator is the most popular separator for lithium-ion batteries. However, it suffers from thermal contraction and mechanical rupture. In order to improve the thermal/mechanical dimensional stabilities, this study investigated the effects of Si<sub>3</sub>N<sub>4</sub> coating. SCS (Silicon-nitride Coated Separator) has been fabricated by applying 10 μm-thick Si<sub>3</sub>N<sub>4</sub>/PVdF coating on one side of PE separator. SCS exhibits enhanced thermal stability over 100~150°C: its thermal shrinkage is reduced by 10~20% compared with pristine PE separator. In addition, SCS shows higher tensile strength than PE separator. Employing SCS hardly affects the C-rate performance of LiCoO<sub>2</sub>/Li coin-cell, even though its ionic conductivity is somewhat lower than that of PE separator.

**Keywords :** Ceramic-coated separator, Si<sub>3</sub>N<sub>4</sub>, Polyethylene separator, Lithium-ion battery

\*E-mail: dukelee@dgist.ac.kr

## 1. 서 론

리튬이차전지의 분리막은 그 자체는 전기화학 반응에 참여하는 재료가 아니지만, 전지가 작동함에 있어 리튬이온의 이동 경로를 제공하고, 양극과 음극의 물리적 접촉을 막음으로써 전지의 성능 및 안정성에 큰 영향을 미치는 구성요소이다.<sup>1,2)</sup> 실용화되어 있는 대표적인 분리막 소재로는 폴리올레핀(polyolefin)계의 폴리에틸렌(polyethylene, PE) 및 폴리프로필렌(polypropylene, PP) 등이 있다. 이들은 화학적 안정성이 높으며, 비교적 저가인 장점을 가지고 있다.<sup>3-5)</sup> 그러나 재료 및 제조 공정상의 특성으로 인해 100°C 이상에서 열 수축이 심화되며, 금속 입자 등의 전지 내부 이물질에 의해 물리적으로 쉽게 파열된다. 이것은 양극과 음극 사이의 내부 단락을 일으키는 원인으로 알려져 있다.<sup>6)</sup> 이러한 단점을 극복하기 위해 PE 분리막 표면에 세라믹 입자와 고분자 결착재로 구성된 코팅 층을 형성함으로써 열에 의한 수축과 기계적 파열을 개선하고자 하였다.<sup>7,8)</sup> 본 연구에서는 여러 종류의 세라믹(산화물계, 탄화물계, 질화물계) 중에서 전지 성능의 저하 원인인 불산(hydrogen fluoride, HF)에 대해 내성이 있는 질화물계 세라믹( $\text{Si}_3\text{N}_4$ , Aldrich)을 사용하였다. 또한, 코팅 slurry의 점도 조절에 용이한 고분자 결착재인 polyvinylidene fluoride(PVdF, Aldrich) 분말을 사용하였다. 제조된 세라믹 코팅 분리막의 표면을 HR-SEM으로 관찰하였으며, 열안정성 및 인장강도, 이온전도도, c-rate를 측정하여 분리막의 물리적 특성과 전기화학적 특성을 분석하였다.

## 2. 실험방법

### 2.1. 세라믹 코팅 분리막 제조

$\text{Si}_3\text{N}_4$ (90 g, 100 g, 110 g)에 PVdF 분말을 10 g 첨가하고, zirconia ball과 4시간 dry ball-milling하였다. 용매 n-methyl-2-pyrrolidone(NMP)를 250 g 첨가하고, 120 rpm의 회전수로 20시간 ball-milling하였다. 분말의 과쇄 및 분산을 통해 slurry를 제조하였다. Comma coater(STC-28A/C, Hansung systems Inc)를 사용하여, slurry를 PE 분리막(Tonen; 두께: 20.4  $\mu\text{m}$ ) 한 면에 후막 코팅한 후, 60°C에서 3시간 진공 건조하였다. 코팅 층의 두께를 10  $\mu\text{m}$ 로 조절하여 분리막의 총 두께는 약 30  $\mu\text{m}$ 로 하였다. Table 1은  $\text{Si}_3\text{N}_4$  코팅 분리막 (SCS)별 구성표이다.  $\text{Si}_3\text{N}_4/\text{PVdF}$  함량비율에 따라 SCS-1, 2, 3으로 구분하였다.

Table 1. Thickness and composition of the  $\text{Si}_3\text{N}_4$ -coated separators

Thickness ( $\mu\text{m}$ )	$\text{Si}_3\text{N}_4:\text{PVdF}$ (w/w ratio)	Sample name
20	Non	PE
30	90:10	SCS <sup>a</sup> -1
30	100:10	SCS-2
30	110:10	SCS-3

<sup>a</sup>Silicon-nitride Coated Separator.

### 2.2. 측정 방법

분리막의 코팅 층을 관찰시, 저전압에서 고해상도가 필요하기 때문에 high resolution scanning electron microscope(HR-SEM; S-4800, Hitachi)을 사용하여 분리막의 표면 형상 및 코팅 층을 관찰하였다. 분리막 조각(2 cm × 2 cm)을 각각의 온도(100~150°C)에서 30분간 oven에 유지하여 수축을 관찰하였고, 분리막의 열적 특성<sup>9)</sup>을 확인하기 위해 differential scanning calorimetry(DSC; DSC Q2000, TA Instrument)를 통해 -90~200°C 까지  $\text{N}_2$  분위기에서 승온 속도 5 °C/min로 측정하였다.

PE 및 SCS 시편(2.5 cm × 10 cm)을 universal testing machine(Insight5, MTS) 사용하여 transverse direction(TD)으로 파단 테스트하였다. 계이지 길이는 4 cm를 유지하였다. PE의 width와 thickness는 각각 2.5 cm 및 0.002 cm이고, SCS의 width와 thickness는 각각 2.5 cm 및 0.003 cm이다. 크로스헤드 속도는 100 mm/min이다. 결과 값은 각각의 샘플을 5번 측정한 결과의 평균치이다.

Electrochemical impedance spectroscopy는 biologic 사의 SP-150모델을 이용하여 PE 및 SCS의 ionic conductivity를 계산하였다. 분리막을 20시간 동안 1.0 M  $\text{LiPF}_6$  EC/DMC = 1/2 (v/v) 전해액에 함침한 후, Ar-filled glovebox 조건하에서 스텐레스합금 사이에 PE 및 SCS를 삽입하여 셀을 제조하였다(Fig. 1). 제조된 셀을 100~10 Hz 주파수 영역에서 5 mV amplitude로 측정하였다. 높은 주파수 영역에서 얻어진 R 값을 Eq. (1)에 대입함으로써 각 분리막의 이온전도도를 구하였다.

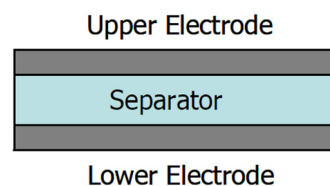


Fig. 1. Manufacture of ECC-REF test cell.

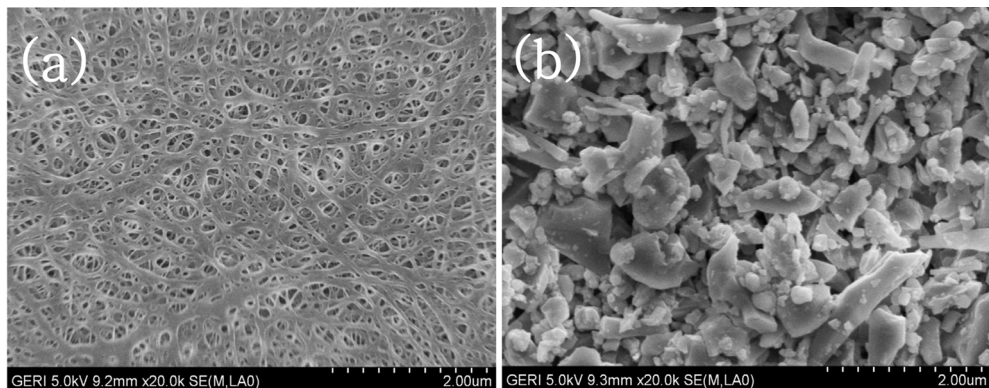


Fig. 2. HR-SEM image of the surface of a porous separators. (a) PE separator; (b) Si<sub>3</sub>N<sub>4</sub>-coated separator (SCS-2).

Table 2. Thermal shrinkage rate of the PE separator and Si<sub>3</sub>N<sub>4</sub>-coated (SCS-1, 2, 3) separators

Sample name	100°C	110°C	120°C	130°C	140°C	150°C
	Thermal shrinkage (%)					
PE	X <sup>b</sup>	0.2	10.5	29.9	64.0	91.0
SCS-1	X	X	9.8	27.8	56.1	79.8
SCS-2	X	X	5.2	14.5	43.6	69.8
SCS-3	X	X	9.6	24.5	49.3	75.0

<sup>b</sup>No shrinkage.

$$\sigma = \frac{1}{R} \times \frac{l}{A} \quad (1)$$

$\sigma$  : ionic conductivities

R : ionic resistance

l : thickness of separators

A : cross-sectional area of separators

코인셀 제작시, 전극 쪽에는 코팅되지 않은 분리막을 접촉시켰다. 충·방전 특성은 BaSyTec GmbH사의 cell test system을 사용하여 3~4.5 V의 전압구간에서의 rate 특성을 조사하기 위해 C/5, C/2, 1C, 2C, 3C 순으로 실시하였다. 충·방전은 동일한 c-rate로 하였고, 1C의 용량은 사용한 LCO의 이론용량 157.58 mAh/g을 적용하였다.

전기화학 테스트를 위하여 LiCoO<sub>2</sub>/PE/Li, LiCoO<sub>2</sub>/SCS/Li의 2016형 코인셀(Coin cell)을 제작하였고, 전해액은 1.0M LiPF<sub>6</sub> EC/DMC = 1/2 (v/v)를 사용하였다.

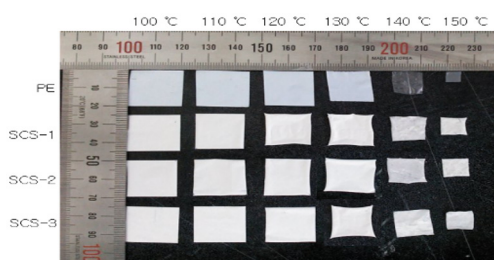


Fig. 3. Photographs of PE separators and Si<sub>3</sub>N<sub>4</sub>-coated separators (SCS-1, 2, 3) after being kept at different temperature for 30 min.

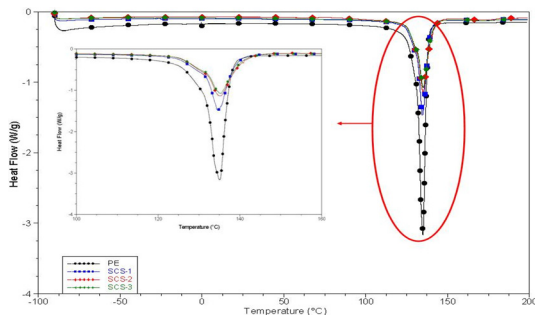
### 3. 결과 및 고찰

#### 3.1. 분리막 표면 분석

Fig. 2는 PE와 SCS의 HR-SEM 사진이다. Fig. 2(a)에서 PE의 미세한 기공 구조를 볼 수 있고, Fig. 2(b)에서 Si<sub>3</sub>N<sub>4</sub> 입자와 PVdF가 PE 분리막 표면에 높은 체적 비율로 코팅되어 있는 것을 관찰할 수 있다.

#### 3.2. 열수축 및 열적 특성 평가

Fig. 3에서 PE가 150°C 조건하에서 큰 수축을 보인다. 이는 양극과 음극 사이의 물리적 접촉을 유발하여 기계적 안전성이 저하될 개연성이 높다. 반면, SCS는 수축 정도가 상대적으로 낮다. 이는 내열성 Si<sub>3</sub>N<sub>4</sub> 분말이 이루는 골격구조에 의한 것으로 해석되어진다.



**Fig. 4. The results of differential scanning calorimetry (DSC).**

Table 2에는 각각의 온도에서 분리막의 수축률을 계산하여 나타내었다.

분리막의 수축률은 Eq. (2)를 이용하여 면적의 수축률로 계산하였다. 분리막은 진공 중 90°C에서 1시간 동안 5% 이하의 수축률을 요구한다.<sup>10)</sup>

$$\text{Shrinkage} = \frac{\text{Initial area} - \text{Final area}}{\text{Initial area} (2 \times 2\text{cm})} \quad (2)$$

PE는 110°C부터 수축이 시작되어, 150°C부근에서 91%의 수축이 일어났다. 반면, SCS들은 120°C부터 수축이 시작되었을 뿐만 아니라 PE 보다 150°C에서 약 10~20% 낮은 수축률을 보였다. 그 중 SCS-2가 모든 온도 조건에서 최저 수축률을 나타내었다.

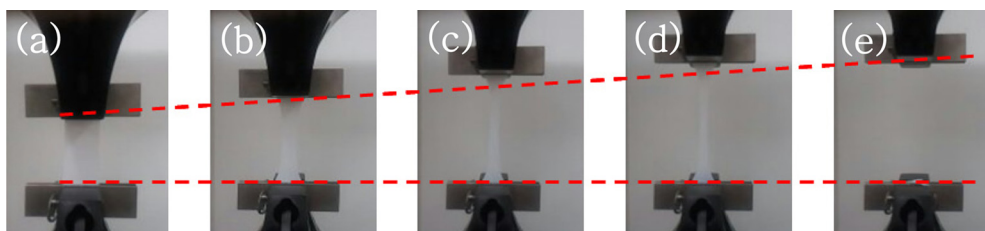
Table 3에는 DSC 결과 값을 나타내었다. SCS의 용융시작온도(onset of  $T_m$ )가 PE보다 상승한 것을 확인 할 수 있었다. 이는 세라믹과 고분자 결합제가 분리막 표면에서 지지체 역할을 하여 높은 온도에서 SCS가 용융하게 되는 것이라고 생각할 수 있다. 그러나, 코팅 공정을 통해 PE 분리막 자체 물성에는 영향을 주지 않기 때문에, SCS의 polyethylene 용융점(max endothermic temp.)은 거의 변화하지 않는다.

### 3.3. 인장강도 측정

Fig. 5는 SCS-2를 이용한 상온에서의 인장시험 방법을 보여준다. Table 4는 PE와 SCS를 이용한 인장시험 결과이다. PE의 인장강도는 1622.0 kgf/cm<sup>2</sup>이지만, SCS들은 PE보다 증가하는 결과를 나타내었다. 이는 분리막 표면에 세라믹을 코팅함으로써 유·무기복합

**Table 3. The results of DSC; Onset of  $T_m$ , various endothermic temperatures and endothermic value of PE separator and  $\text{Si}_3\text{N}_4$ -coated (SCS-1, 2, 3) separators**

Sample name	Onset of $T_m$ (°C)	Max endothermic temp. (°C)	Endothermic value (J/g)
PE	119.9	135.0	210.7
SCS-1	124.0	134.5	116.9
SCS-2	125.0	135.2	110.4
SCS-3	124.8	135.2	99.1



**Fig. 5. Photographs of  $\text{Si}_3\text{N}_4$ -coated separator (SCS-2) on tensile strength. (a) initial state; (b)~(d) measurement state; (e) rupture of SCS-2 separator.**

**Table 4. The results of tensile strength ; various value of PE separator and  $\text{Si}_3\text{N}_4$ -coated (SCS-1, 2, 3) separators**

Sample name	Width (cm)	Thickness (cm)	Peak load (kgf)	Tensile strength (kgf/cm <sup>2</sup> )
PE	2.5	0.002	8.11	1622.0
SCS-1	2.5	0.003	12.44	1658.7
SCS-2	2.5	0.003	12.50	1666.7
SCS-3	2.5	0.003	13.02	1739.0

**Table 5.**  $\sigma$ , ionic conductivities,  $R$ , ionic resistance,  $A$ , cross-sectional area of separator,  $l$ , thickness of separator, using Eq. (1) for separator samples

Sample name	R/ohm	l/cm	A/cm <sup>2</sup>	$\sigma$ /(S/cm)
PE	0.306	$2.0 \times 10^{-3}$	2.5434	$2.57 \times 10^{-3}$
SCS-1	0.945	$3.0 \times 10^{-3}$	2.5434	$1.25 \times 10^{-3}$
SCS-2	0.516	$3.0 \times 10^{-3}$	2.5434	$2.29 \times 10^{-3}$
SCS-3	0.489	$3.0 \times 10^{-3}$	2.5434	$2.41 \times 10^{-3}$

분리막의 기계적 특성이 개선되는 것을 알 수 있다.

### 3.4. 이온 전도도 측정

Table 5는 Eq. (1)을 이용하여 PE와 SCS들의 이온 전도도를 계산한 결과를 나타내었다.

각각의 분리막들을 비교해본 결과, PE가  $2.57 \times 10^{-3}$  S/cm로 가장 높은 이온전도도를 보이고, 세라믹 함량이 다른 SCS-1, SCS-2와 SCS-3의 경우에는 세라믹 함량이 증가할수록 이온전도도가 증가하는 경향을 보였다. 또한, 세라믹 함량이 가장 많은 SCS-3의 경우는 PE의 이온전도도와 거의 유사한 결과 값을 보이고 있다.

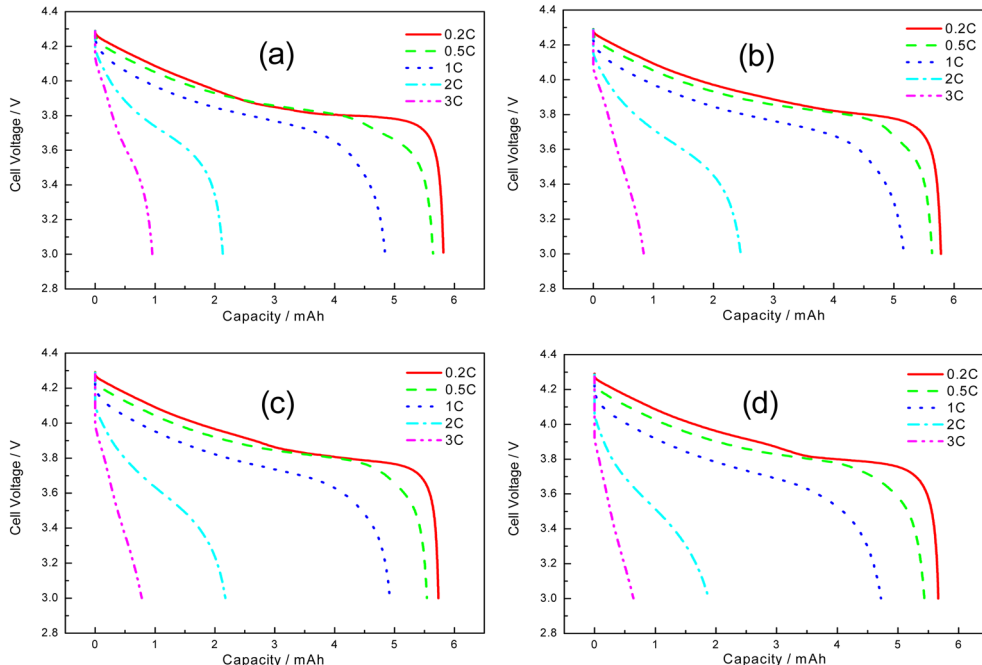
SCS-1과 SCS-3의 경우를 비교해보면 세라믹의 함량이 20 g 증가하였음에도 전도도는 2배 정도 증가하는 결과를 보인다. 또한, PE에 비해 SCS들의 이온전

도도 값은 다소 감소하는 경향은 보이지만, 세라믹 함량이 높은 SCS-2와 SCS-3의 경우 PE와 유사한 결과 값을 얻을 수 있었다.

이러한 결과는  $\text{Si}_3\text{N}_4$  함량이 증가하면서 입자들 사이의 공간이 증가하여 분리막 내부에 잔류하는 전해액의 양이 증가하게 된다. 따라서 분리막의 이온 전도도가 증가되는 것을 알 수 있다.

### 3.5. 충-방전 실험

Fig. 6에는 PE와 SCS로 제조된 코인셀(coin cell)의 c-rate별 방전용량 나타내었다. 0.2C에서 3C까지 c-rate가 증가함에 따라 나타나는 방전 용량을 측정하였고, Fig. 7는 3~4.5 V까지 충전-방전을 각각 0.2C, 0.5C, 1C, 2C 및 3C의 다양한 c-rate로 측정한 결과를 나타내었다. 결과적으로 다양한 c-rate에서 PE와 SCS가 유



**Fig. 6.** Discharge profiles of cells with PE and SCS separators; (a) PE separator; (b) SCS-1 separator; (c) SCS-2 separator; (d) SCS-3 separator.

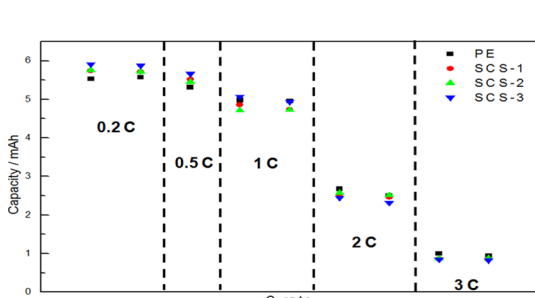


Fig. 7. Discharge capacity of PE and SCSs at various C-rate.

사한 방전용량 특성이 나타났다.

#### 4. 결 론

본 연구에서는 리튬이차전지용 분리막의 열적/기계적 안정성 향상을 위해  $\text{Si}_3\text{N}_4/\text{PVdF}$  유·무기 복합층이 코팅된 분리막(SCS)을 제조하였다. 제조된 SCS는 PE 분리막보다 낮은 열 수축률과 높은 인장강도를 보였다. 반면, SCS가 PE보다 코팅층의 영향으로 인해 이온전도도가 PE 보다 다소 감소하는 결과를 나타내었다. 하지만 코인셀에서 C-rate의 특성을 비교한 결과 PE 분리막을 사용한 경우와 유사한 방전 특성 결과를 보였다. 결론적으로 본 연구에서 제조된 SCS 유·무기 복합분리막은 전기화학적 특성의 저하없이 열적/기계적에 안정성을 보임을 확인하였다.

#### 감사의 글

본 논문은 지식경제부의 에너지자원기술개발사업의 지원(20092020100030) 및 대구경북과학기술원의 지원(11-BD-0405)을 받아 수행된 연구결과입니다.

#### 참고문헌

- Y. B. Jeong and D. W. Kim, 'The role of adhesive gel forming polymer coated on separator for rechargeable lithium metal polymer cells' *Solid State Ionics*, **176**, 47 (2005).
- Y. M. Lee, N. S. Choi, J. A. Lee, W. H. Seol, K. Y. Cho, H. Y. Jung, J. W. Kim, and J. K. Park, 'Electrochemical effect of coating layer on the separator based on PVdF and PE nonwoven matrix' *J. Power Sources*, **146**, 431 (2005).
- F. L. Tye, 'Tortuosity' *J. Power Sources*, **9**, 89 (1983).
- Z. Mao and R. E. White, 'A model for the deliverable capacity of the TiS<sub>2</sub> electrode in a Li/TiS<sub>2</sub> cell' *J. Power Sources*, **43**, 181 (1993).
- H. Sakaebe and H. Matsumoto, 'Observation of electrodeposited lithium by optical microscope in room temperature ionic liquid-based electrolyte' *Electrochim. Acta*, **45**, 1265 (2003).
- T. Hayes, 'Root cause for failures in Li-ion batteries' 24th International Battery Seminar & Exhibit, Florida (2007).
- P. Arora and Z. Zhang, 'Battery separators' *Chem. Rev.*, **104**, 4419 (2004).
- S. Augustin, V. Hennige, G. Hoerpel, and C. Hying, 'Ceramic but flexible: new ceramic membrane foils for fuel cells and batteries' *Desalination*, **146**, 23 (2002).
- D. Takemura, S. Aihara, K. Hamano, M. Kise, T. Nishimura, H. Urushibata, and H. Yoshiyasu, 'A Powder particle size effect on ceramic powder based separator for lithium rechargeable battery' *J. Power Sources*, **146**, 779 (2005).
- J. G. Park *et al.*, 'Principles and application of Lithium secondary batteries', Hongrung publishing company (2010).